

$$Z_{Bx} = Z_1 = \frac{U_1}{I_1} = \frac{U_2 \cdot \cos \beta l}{\frac{U_2}{Z_B} \sin \beta l} = Z_B \cos \beta l$$

PROFF

задача 1. Вид напряжения (55) упрощ.

$$Z_{Bx} = Z_{B1} = Z_B \frac{\cos \beta l}{j \sin \beta l} = -j Z_B \operatorname{ctg} \beta l = -j Z_B \operatorname{ctg} \frac{2\pi l}{\lambda}$$

$\beta l = \frac{2\pi l}{\lambda}$  (56)

линейка для измерения коэффициента отражения

График  $Z_1(l)$  - см. фиг. 8.

Благодаря компоненту индуктивности линии для измерения коэффициента отражения получается

Этот компонент обуславливает наличие поглощений, рефракций, дисперсии и т.д.

Линия для измерения коэффициента отражения

линейка для измерения коэффициента отражения

линейка для измерения коэффициента отражения

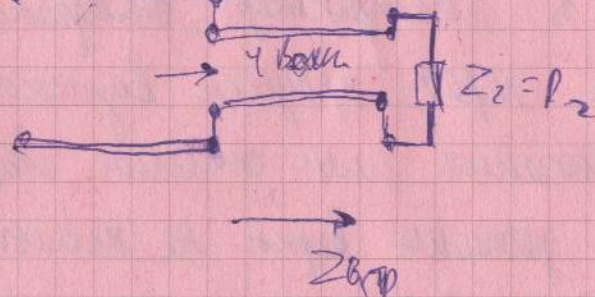
линейка для измерения коэффициента отражения

Совмещение измерения коэффициента отражения с измерением коэффициента отражения

Видно при совмещении измерения коэффициента отражения с измерением коэффициента отражения

линейка для измерения коэффициента отражения

$Z_{B1}$



$$Z_{Bx1P} = Z_{B1P} \cdot \frac{Z_2 \cdot \cos \beta l + j Z_{B1P} \sin \beta l}{Z_{B1P} \cdot \cos \beta l + j Z_2 \sin \beta l} =$$

$$= Z_{B1P} \frac{Z_2 + j Z_{B1P} \tan \frac{2\pi l}{\lambda}}{Z_{B1P} + j Z_2 \tan \frac{2\pi l}{\lambda}} = Z_{B1P} \cdot \frac{Z_{B1P}}{Z_2} =$$

$$= \frac{Z_{B1P}^2}{Z_2}$$

$$\frac{Z_{B1P}^2}{Z_2} = Z_{B1} \quad (\text{коэффициент отражения})$$

$$Z_{BIP} = \sqrt{\frac{L_0}{C_0}} \rightarrow L_0 \propto C_0$$

PROFF

## Переходные процессы в цепи

Введение в электромагн., тоководим и магнитоф. переход-процесса возможен при нарушении или отключении нагрузки.

Переходное решение первое не только для установившихся цепей, но и для реальных.

$$\begin{cases} -\frac{\partial U}{\partial X} = L_0 i + L_0 \frac{\partial i}{\partial t} & (1) \\ -\frac{\partial i}{\partial X} = C_0 U + C_0 \frac{\partial U}{\partial t} & (2) \end{cases}$$

3) ТОЭ первого прог. в цепи не имеет упр. уравн., так как решения 1 и 2 линейно независимы друг от друга.

34) Второе реш. переход-процесс в однопол. цепи для ин. доз напряж.

$$L_0 \approx 0 ; C_0 \approx 0$$

При малом загружении нагрузкой можно считать рез-мом фул 1-х спорадич. переход. процесс.

$$U_g \text{ из ур. (1)-(2)} \text{ и } L_0 \approx C_0 \approx 0 \Rightarrow$$

$$\begin{cases} -\frac{\partial U}{\partial X} = L_0 \frac{\partial i}{\partial t} & (3) \\ -\frac{\partial i}{\partial X} = C_0 \frac{\partial U}{\partial t} & (4) \end{cases}$$

$$\begin{cases} -\frac{\partial^2 U}{\partial X^2} = L_0 \frac{\partial^2 i}{\partial t \partial X} & (5) \\ -\frac{\partial^2 i}{\partial X \partial t} = C_0 \frac{\partial^2 U}{\partial t^2} & (6) \end{cases}$$

$$(6) \rightarrow (5)$$

$$\begin{cases} -\frac{\partial^2 U}{\partial X^2} = L_0 C_0 \frac{\partial^2 i}{\partial t^2} = \frac{1}{v^2} \frac{\partial^2 U}{\partial t^2} & (7) \\ + \frac{\partial^2 i}{\partial X^2} = \frac{1}{v^2} \frac{\partial^2 i}{\partial t^2} & (8) \end{cases}$$

$$v_F = v = \sqrt{\frac{1}{L_0 C_0}}$$

## - базовое уравнение

Решение базового уравнения

Приложение и применение базиса в цепи

у<sup>и</sup> начинанинүүбесим, эмдө нийр  
мүнкүм бир.

PROFF

PROFF

$$(9) \quad u(x; t) = f_1\left(t - \frac{x}{Z_B}\right) + f_2\left(t + \frac{x}{Z_B}\right) = u_n + u_0$$

$$(10) \quad i(x; t) = \frac{1}{Z_B} [f_1\left(t - \frac{x}{Z_B}\right) - f_2\left(t + \frac{x}{Z_B}\right)] =$$

$$= \frac{u_n}{Z_B} - \frac{u_0}{Z_B} = i_n - i_0$$

Из (9) и (10) видим, что каким бы  
ни был  $f$ -и прил. характер. были в  
наш. случае, но никак не зависят, из  
с. языка. Но времена, имена поговоры. были  
в прил. можно мен.

Со временем языку - поговоры. Была  
переведена со скр. в б. народах устами.

Х. Амур. Была язык. с монг. скр.,  
но в скр. нар.

Далее наци. монг. - из чинов. бол. и.  
а где наци. нарп. - атаманы и генералы  
и. Китай.

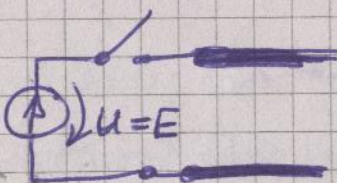
$U_2(g) \approx U_0$   $\Rightarrow$  какой-то из бор. зенков  
имеет нег. боякое в начальне не только  
один закону, то с const. напряж-ем во  
вредление ини-ции  $U_0$  в мон. др. торке  
линии.

Сохранение орбиты падающим бояком  
не является-ся в скор.  $v^2$  линии нули в  
шапе убийца-я коорд.  $x$ .

Отраж. эллиптическая движ-ся в той же  
коор-ко, но в обратном направ-ии. Так что-  
и в мон. торке  $U_0$  - это ини-ци, а торка-  
-ия в борьбе  $i_0$ .

12.08.062

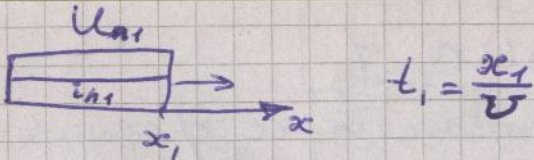
Процесс в линии при гл-ии фазовых  
боян.



1-ый  
стадия М-е начала  $\approx$  конец гл-ия  
падающего бояка.

При засечки на линии подается  
мест.  $U$  зен-ра. В начальне возникает  $U_{n_1} = U$  и  
 $i_{n_1} = \frac{U_{n_1}}{Z_B} = \frac{U}{Z_B}$ . Тут бояк перен-ся в ск-ко  $\sigma$ .

Обнаружено линии бояка создаёт за ним  
мал. пол. Участок нач-ий наз. фазовым  
бояком. Торке же бояка есть не единица  
 $i \cdot U = 0$ .



$$t_1 = \frac{x_1}{V}$$

Замечание: ① при шаге . и об. гр. сопротивления, времена  
нагрузки волны будет также иметь.

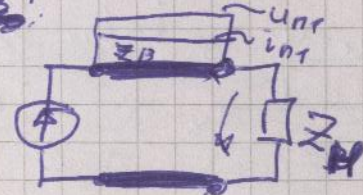
② в инт. времени от 0 до  $t = dE/V$   
линия отн-но шага будет седа как  
соглас-ое сопр-ие  $Z_B$ .

③ если в начале шага ноги-но  
накоплены нагружене волны и в  
сопр-ии из расчета для проводимости  
в гравии зам-их ②.

## Схема замещения для контакта между.

Когда наг. волна достигнет конца линии  
то есть нагрузка или гр. линии с гр. сопр.  
 $Z_B$ , часто наг. волны проходит, часто —  
отражается.

Сх. зам. для контакта ноги-го сопр-ии накона  
сопротивления волны и накопленной и отраженной  
 $Z_B$ .



$$\text{Для момента } t \text{ в 1-мод.}$$

$$\text{ torque} = U_H = U_{H1} + U_{O2} \text{ и } i =$$

$$i_H = i_{H1} - i_{O2} =$$

$$= \frac{U_{H1}}{Z_B} - \frac{U_{O2}}{Z_B} \Rightarrow$$

$$\Rightarrow i_H \cdot Z_B = U_{H1} - U_{O2}$$

$$2U_{H1} = i_H \cdot Z_B + U_H \quad \text{сост-ет схема:} \rightarrow$$

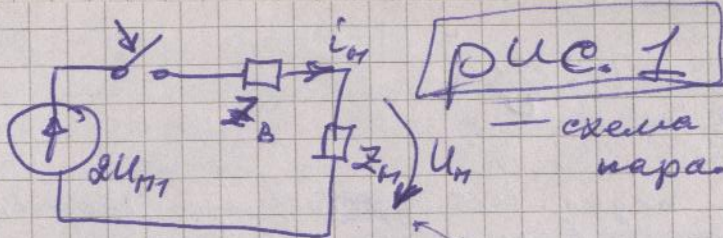


Рис. 1

— схема со средногр-ым параллельным.

Рассмотрим по схеме 1217 напр-юст  $U_H(t)$ , исходя из  $U_{O1} = U_H - U_{m1}$  и  $i_{O1} = \frac{U_{O1}}{Z_B}$

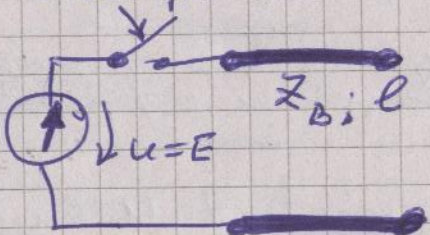
Это гр-юст опис-щее  $U_{O1}$  и  $i_{O1}$  в конце линии,  
Зная их мож-но в конце к получить  $U_H$  и  $i_{O1}$ .

В мод. гр-токе зная  $\Sigma$  переменные

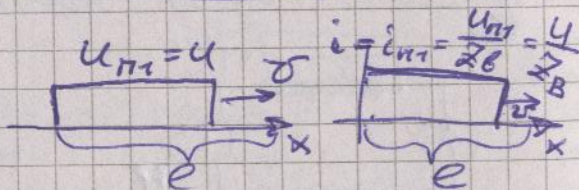
Отрат. болта збум-ся в направл.  $\rightarrow$   
до направления она ом-но отбрасывается. Для расчета  
болтов отбрас-ой в направл. иен-ся схема  
зап-ся аналогич. (рис. 1).

## Примеры: (длнн. линии Б/побег)

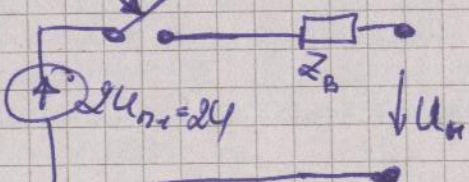
① Подкл. разомкнув на конец ист-юст.  
напр-ие.



$$0 \leq t \leq \frac{\lambda}{c}$$



Для паден-ся отр. болтов исп-юст ex. зам-ки.



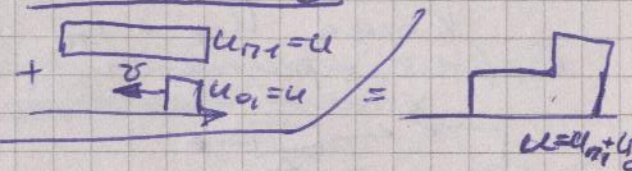
$$U_H = 2U_{m1} = 2U$$

$$U_H = U_{m1} + U_{O1} = U + U_{O1}$$

$$U_{o_1} = U$$

$$i_{o_1} = \frac{U_{o_1}}{Z_B} = \frac{U}{Z_B} = i_{m1} = i$$

$$\frac{\ell}{25} \leq t \leq \frac{2\ell}{25}$$



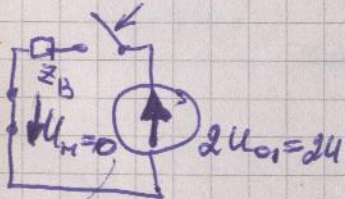
$$i_{m1} = i$$

$$+$$

$$v \leftarrow \begin{array}{c} \square \\ \downarrow \\ -i_{o_1} \end{array}$$

$$i = i_{m1} - i_{o_1}$$

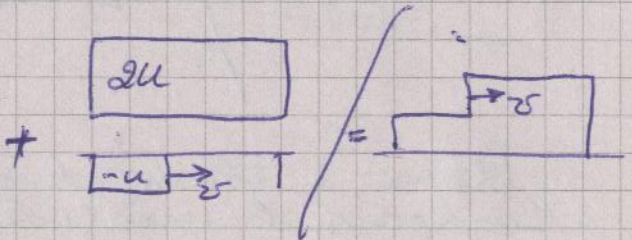
Кога бара  $U_{o_1}$ ,  $i_{o_1}$  додатково нарастають  
відповідно до нарастання, що зумовлює опадання  
до нарастання пульсів та ін.



$$= U_{o1} + U_{m2} = U + U_{m2} \Rightarrow U_{m2} = 0 - U = -U$$

$$i_{m2} = \frac{U_{m2}}{Z_B} = -\frac{U}{Z_B} = -i$$

$$\frac{2\ell}{25} < t < \frac{3\ell}{25}$$



$$+ \quad \boxed{i_{n2} = -i} \xrightarrow{Z_B} \quad / = \quad \boxed{i_{o2} = i} \xrightarrow{Z_B}$$

Когда  $U_{n2} = i_{n2}$  зоногор го иониза нееца  
етронан обратненнаа волна.

$$\delta U_{n2} = -\delta U \quad \downarrow U_n = 2U_n = -\delta U = U_{n2} + U_{o2} = -U + U_{o2} \Rightarrow$$

$$\Rightarrow U_{o2} = -U$$

$$i_{o2} = \frac{-U}{Z_B} = -i$$

$$\frac{3l}{25} \leq t \leq \frac{4l}{25}$$

$$+ \quad \boxed{u} \quad \xrightarrow{\quad} \quad / = - \boxed{\frac{u}{25}} \quad -$$

$$+ \quad \boxed{-i} \quad \xrightarrow{\Sigma(i)} \quad / = \quad \boxed{\frac{-i}{125}}$$

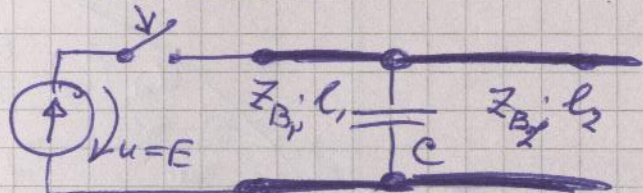
Итак, к концу 4 сады ПП иониз  
возвращаю в исх состоянне ( $U=0$  и  $i=0$ ).

Теоретически это должно быть  $\infty$ .  
В практике  $R_o \neq \infty$  и  $C_o \neq 0$  с разной  
брзостью РП замыкается в цепь всей инер-  
ционной реакции соотношения установив-  
шегося значения в момент подключения  
к ней. Ист. например.

Иллюстрируя, что если момент приим. ①  
закончился, то напр. ~~тогда~~  $\frac{dU}{dt} = 0$ .

Если в состав нагрузки входит источник  $C$ ,  
или вместе перехода его вини  $C$ , то  
страж. и преобраз. можно не будут вло-  
жено на подачу. Всюду. Эти добавки  
определяются расчетом РП в нагрузку  
аналогичным рис. 1

②) Подкл. к ист. пост. напр. движок линии  
емкости  $C$ .



$$0 < t \leq \frac{l}{2\sigma}$$

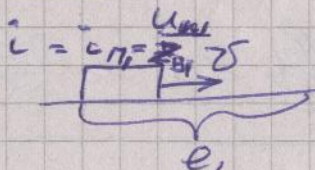
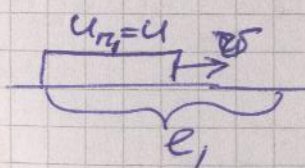
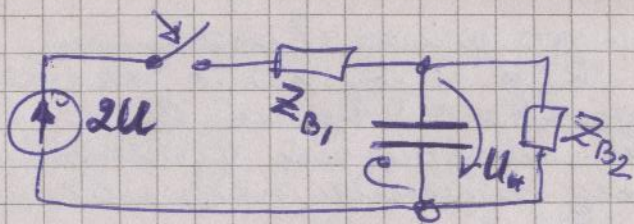


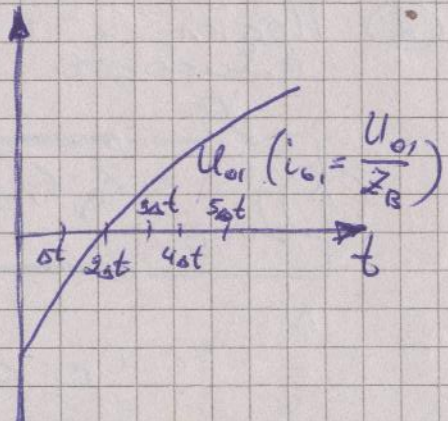
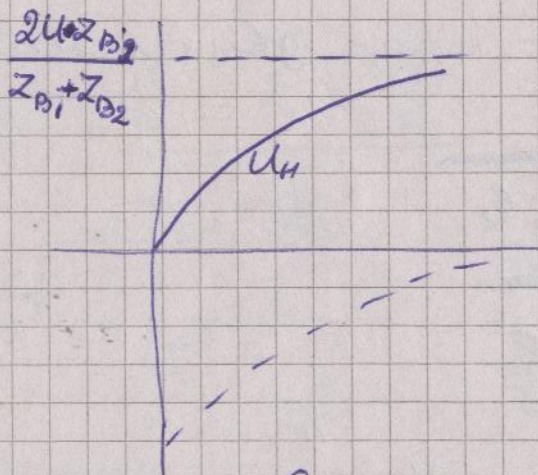
Схема замен. расчета РП в стоке.



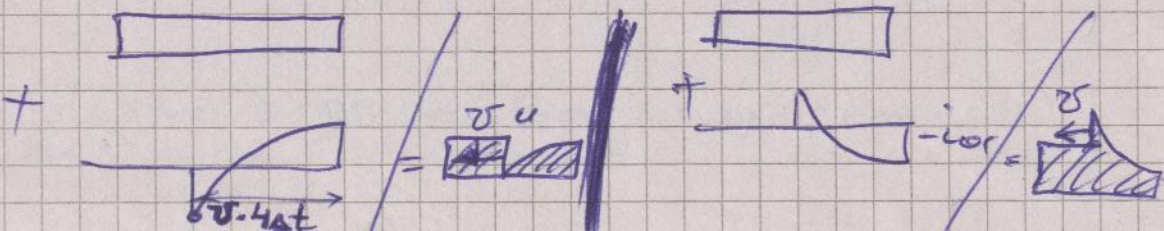
$$U_H = U_c = \frac{2U}{Z_{B1} + Z_{B2}} \cdot Z_{B2} \left(1 - e^{-\rho t}\right), \quad (1) \quad \rho = -\frac{Z_{B1} + Z_{B2}}{Z_{B1} \cdot Z_{B2} \cdot C}$$

$$U_H = U_m + U_{o1} \Rightarrow U_{o1} = U_H - U_m = U_H - U \quad (2)$$

$$i_{o1} = \frac{U_{o1}}{Z_{B1}} \quad (3)$$



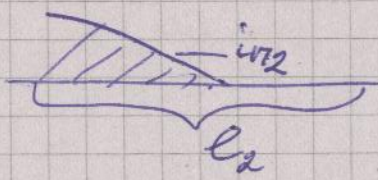
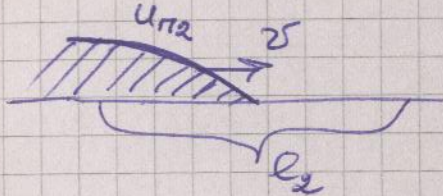
$$\frac{e_1}{25} < t < \frac{2e_1}{25}$$



Здесь болтов  $U_{n_1}$  и  $i_{n_1}$  в шахте стока не отре-ся, а находятся в борту лившица. Очевидно, что  $U_n$  это  $U_{n_1}$  и в шахте  $i_{n_1}$  идей болтов в копии  $\frac{1}{2}$  лившица

$$U_{n_2} = U_n$$

$$i_{n_2} = \frac{U_{n_2}}{Z_{B_2}} = \frac{U_n}{Z_{B_2}}$$



① Для машины 5 кВт на  
нагрузке 1000 л.с.

$$Z_{IX} = 535 e^{-j64}$$

$$Z_{IK} = 467,5 e^{-j10}$$

Найти  $Z_B$  и  $\gamma l$  - ?

$$Z_{IX} = \frac{Z_B}{t h j l} \quad (55)$$

$$Z_{IK} = Z_B t h j l \quad (56)$$

$$Z_B = \sqrt{Z_{IX} \cdot Z_{IK}} = \sqrt{(34,5 - j480,85)(469,4 - j81,16)} =$$

$$\operatorname{tg} \gamma l = \sqrt{\frac{Z_{IK}}{Z_{IX}}} = \sqrt{ } =$$

$$Z_B = 399,4 - j300,98 = 500,1 e^{-37}$$

$$\operatorname{tg} \gamma l = 0,8329 + j0,4244 = 0,9348 e^{j27}$$

$$\gamma l = \operatorname{arctg}(0,8329 + j0,4244) = 0,7085 + j0,7116$$

$$\gamma = 0,1427 + j0,142 = 0,2 e^{j45}$$

$$\operatorname{tg} \gamma l = \frac{e^{\gamma l} - e^{-\gamma l}}{e^{\gamma l} + e^{-\gamma l}}$$

$$\frac{1 + t h \gamma l}{1 - t h \gamma l} = e^{-2 \gamma l}$$

$$e^{d\alpha l} = \dots = 0,606 + j4,08 = 4,125 e^{j81,55^\circ}$$

$$\rho l = (\alpha + j\beta) \cdot l = d l + j\beta l =$$

$$e^{2\alpha l} = e^{2dl} e^{2j\beta l}$$

$$e^{2\alpha l} = 4,125$$

$$2dl = \ln 4,125$$

$$l = \frac{\ln 4,125}{2e} = \frac{1,417}{2 \cdot 5} = 0,1417$$

$$2\beta l = 81,55 \cdot \pi / 180$$

$$\beta = \frac{1,42}{2 \cdot 5} = \frac{1,42}{10} = 0,142$$

2) Для числа (1) определить неизвестные параметры.

$$(4) \quad Y = \sqrt{Z_0 \cdot Y_0}$$

$$(7) \quad Z_B = \sqrt{\frac{Z_0}{Y_0}}$$

$$Z_0 = Y Z_B = (0,1417 + j0,142) \cdot (399,4 - j300,98) = \\ = 99,3 + j14,1 = R_0 + j\omega L_0$$

$$R_0 = 99,3 \Omega \frac{m}{km} \quad L_0 = \frac{14,1}{\omega} = \frac{14,1}{2\pi \cdot 1000} = 2,24 \mu H \frac{m}{km}$$

$$Y_0 = G_0 + j\omega C_0 = \frac{G_0}{Z_B} = -55,5 \cdot 10^{-6} + j3,97 \cdot 10^{-4}$$

$$G_0 = 55,5 \cdot 10^{-6} \text{ S/m/km}$$

$$C_0 = \frac{3,97 \cdot 10^{-4}}{2\pi \cdot 1000} = 0,063 \cdot \frac{\mu\text{F}}{\text{km}}$$

③ Из примера (2) находим коэффициенты:  
коэффициент напряжения:

Доп-т.  $U_2 = i_2$ , если  $R_2 = 400 \Omega$   
 $i_2 = 0,5 A$ .

$$\begin{cases} U_1 = U_2 \operatorname{ch} j\beta l + I_2 Z_B \operatorname{sh} j\beta l \\ I_1 = \frac{U_2}{Z_B} \operatorname{sh} j\beta l + I_2 \operatorname{ch} j\beta l \end{cases}$$

$$\omega = 0; \gamma = \sqrt{Z_0 \cdot Y_0} = \sqrt{R_0 \cdot G_0} = 0,07423 \text{ 1/km}$$

$$Z_B = \sqrt{\frac{Z_0}{Y_0}} = \sqrt{\frac{R_0}{G_0}} = 1338 \Omega_{\text{акт}}$$

$$\gamma = \alpha + \beta j \Rightarrow \beta = 0, \alpha = 0,07423$$

$$U_1 = U_2 \operatorname{ch} j\beta l + I_2 Z_B \operatorname{sh} j\beta l = I_2 R_2 \operatorname{ch} j\beta l + I_2 Z_B \operatorname{sh} j\beta l =$$

$$= 468 \text{ B}$$

$$\operatorname{ch} j_1 l = \operatorname{ch} 0,07423 \cdot 5 = \operatorname{ch} 0,371 =$$

$$= \frac{e^{0,371} + e^{-0,371}}{2} = 1,07$$

$$\operatorname{sh} j_1 l = \frac{e^{0,371} - e^{-0,371}}{2} = 0,38$$

$$I_1 = \frac{I_2 R_B}{R_B + Z_B} \operatorname{sh} j_1 l + I_2 \operatorname{ch} j_1 l = \frac{0,5 \cdot 400}{1338} \cdot 0,38 + 0,5 \cdot 1,07 =$$

$$= \underline{\underline{0,592 \text{ A}}}$$

④ Амперів коротко замкнення на корусе у ногах - має від'ємне значення. наприклад  $f = 1000 \text{ Гц}$ .

$$\dot{\bar{I}}_2 = 1 \text{ A.}$$

$$\text{Оп-тв } U_1 \text{ та } \dot{i}_1 = ?$$

$$\text{Для } k_3 \quad U_2 = 0$$

$$\begin{cases} \dot{U}_1 = \dot{I}_2 Z_B \operatorname{sh} j_1 l \\ \dot{I}_1 = \dot{I}_2 \operatorname{ch} j_1 l \end{cases}$$

$$\dot{U}_1 = 1 (399,4 - j300,98) \cdot \operatorname{sh}(0,1417 + j0,142) \cdot 5 =$$

$$= 480,5 + j152,9 = 504 e^{j1765^\circ}$$

$$\dot{I}_1 = 0,957 + j0,501 = 1,08 e^{j27,63^\circ}$$

$$j = 0,1417 + j 0,142$$

$$j\ell = 0,7085 + j 0,7116$$

$$Z_B = 399,4 - j 300,98$$

$$\operatorname{ch} j\ell = \frac{e^{j\ell} - e^{-j\ell}}{2} = 0,9556 + j 0,502$$

$$\left( e^{j\ell} = e^{0,7085} e^{j 0,7116} = 1,031 e^{j 0,7116} = \dots = 1,538 + j 1,326 \right)$$

$$e^{-j\ell} = e^{-0,7085} e^{-j 0,7116} = 0,373 - j 0,322$$

$$\operatorname{sh} j\ell = 0,5825 + j 0,824$$

5) Нужен напрямка akt. сопр.  $I_2 = R_2 = 400 \Omega$   
 $I_2 = 0,5 A$        $U_1$ ,  $u$   $i_1$  - ?

$$\begin{cases} U_1 = I_2 Z_2 \operatorname{ch} j\ell + i_2 \operatorname{sh} j\ell \cdot Z_B \\ i_1 = \frac{I_2 Z_2}{Z_0} \operatorname{sh} j\ell + i_2 \operatorname{ch} j\ell \end{cases}$$

$$U_1 = 0,5 \cdot 400 \cdot (0,9556 + j 0,502) + 0,5 \cdot (0,5825 + j 0,824) \cdot (399,4 - j 300,98) = 431,4 + j 177,3$$

$$i_1 = 0,466 + j 0,654$$

⑥ Опред. в зоне загухания в непр., если  
на конце сопла нагрузка.

$$Z_2 = Z_B$$

$$\dot{U}_1 = \dot{U}_2 (\operatorname{ch} j\beta l + \operatorname{sh} j\beta l) - U_2 e^{j\beta l}$$

$$\dot{I}_1 = \dot{I}_2 (\operatorname{ch} j\beta l + \operatorname{sh} j\beta l) = I_2 e^{j\beta l}$$

$$\begin{aligned} \dot{U}_1 &= U_2 e^{j\psi_{u1}} = U_2 e^{j\psi_{u2}} e^{\alpha l} e^{j\beta l} = \\ &= U_2 e^{\alpha l} \cdot e^{j(\psi_{u2} + \beta l)} \end{aligned}$$

$$U_1 = U_2 e^{\alpha l}$$

$$\psi_{u1} = \psi_{u2} + \beta l$$

$$\alpha_{mn} = \frac{1}{2} \ln \left( \frac{U_1}{U_2} \right)^2 = \ln \frac{U_1}{U_2} = dL = 0,7085 \text{ rad}$$

Опред.  $U_1$ , если  $U_2 = 100 \text{ В}$ ,  $dL = 0,7085$

$$U_1 = U_2 e^{dL} = \underline{203 \text{ В}}$$

### Выводы:

1. Из уравнений, описывающих связь между  $i(t)$  и  $u(t)$  для  $R$ ,  $L$  и  $C$ , а также для последовательного участка, узла и контура схемы, следуют уравнения для Лапласовых изображений  $I(p) \stackrel{def}{=} i(t)$  и  $U(p) \stackrel{def}{=} u(t)$ .
2. Последние уравнения подобны законам Ома и Кирхгофа в символическом методе (получаются из них заменой  $j\omega$  на  $p$ ). Отличие заключается в появлении т.н. «внутренних» ЭДС  $L_i(0+)$  и  $u_C(0+)/p$ , определяемых по начальным токам в индуктивностях и напряжениям на емкостях схемы.
3. Элементам  $R$ ,  $L$  и  $C$  соответствующие операторные схемы замещения рис.1-3.
4. С учетом п.3 для исходной схемы составляется эквивалентная схема замещения для операторных изображений ЭДС, токов и напряжений.
5. Эквивалентная схема рассчитывается с применением изученных ранее методов (по законам Кирхгофа, МКТ, МУП, МЭГ, МН и др.).

### **8. Алгоритм расчета переходного процесса операторным методом.**

1. Задаться положительными направлениями токов, напряжений в схеме.
2. В докоммутационной схеме рассчитать все  $i_L$  и  $u_C$  для  $t = 0-$ .
3. Составить эквивалентную операторную схему послекоммутационной цепи, учитывая ненулевые начальные условия в  $L$  и  $C$  введением ЭДС  $L_i(0+)$  и  $u_C(0+)/p$ .
4. Рассчитав схему п.3, получить операторные изображения искомых токов и напряжений.
5. Перейти от изображений искомых величин к соответствующим этим изображениям функциям времени, используя таблицу операторных соотношений, свойства преобразования Лапласа и др.

### **9. Теорема разложения.**

Если изображение имеет вид несократимой рациональной дроби:

$$F(p) = \frac{F_1(p)}{F_2(p)} = \frac{b_m p^m + b_{m-1} p^{m-1} + \dots + b_1 p + b_0}{a_n p^n + a_{n-1} p^{n-1} + \dots + a_1 p + a_0}, \text{ причем } m < n,$$

то оригинал  $f(t) \stackrel{def}{=} F(p)$  равен:

$$f(t) = \sum_{k=1}^n \frac{F_1(p_k)}{F_2'(p_k)} e^{p_k t}, \quad (12)$$

где  $p_k$  – корни уравнения  $F_2(p)=0$ , один из которых может быть и нулевым.

Первичный параметр	Линия	
	Двухпроводная	Коаксиальная
Емкость на единицу длины линии	$C_0 = \pi \epsilon_0 / \ln(d/r)$	$C_0 = 2 \pi \epsilon_0 / \ln(r_1/r_2)$
Индуктивность на единицу длины линии	$L_0 = \frac{\mu_0}{\pi} \ln(d/r)$	$L_0 = \frac{\mu_0}{2\pi} \ln(r_1/r_2)$

Рис. 1

Рис. 2

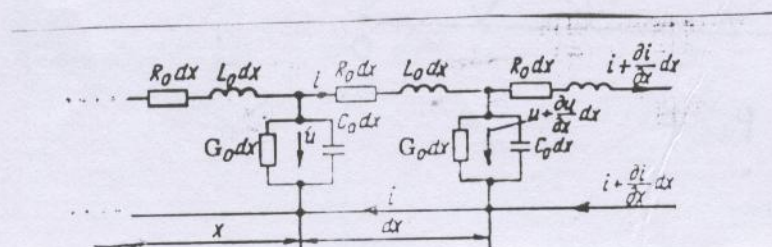


Рис. 3

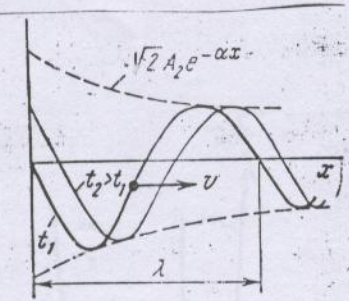


Рис. 4

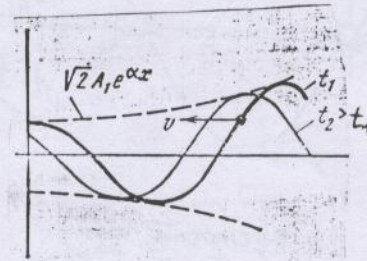
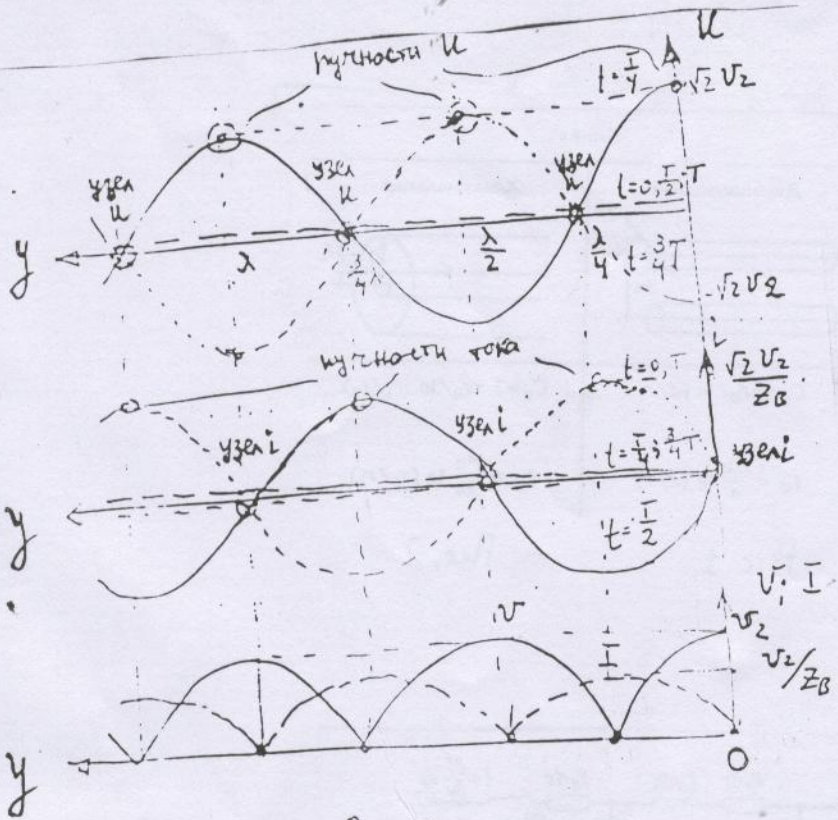
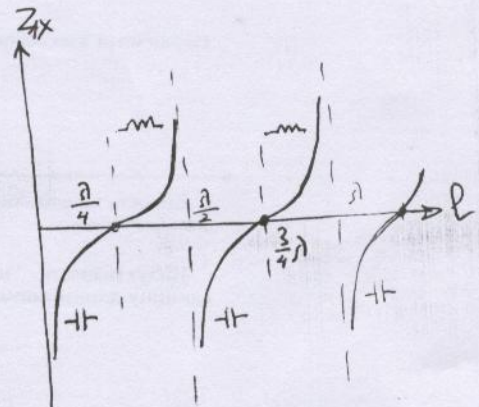


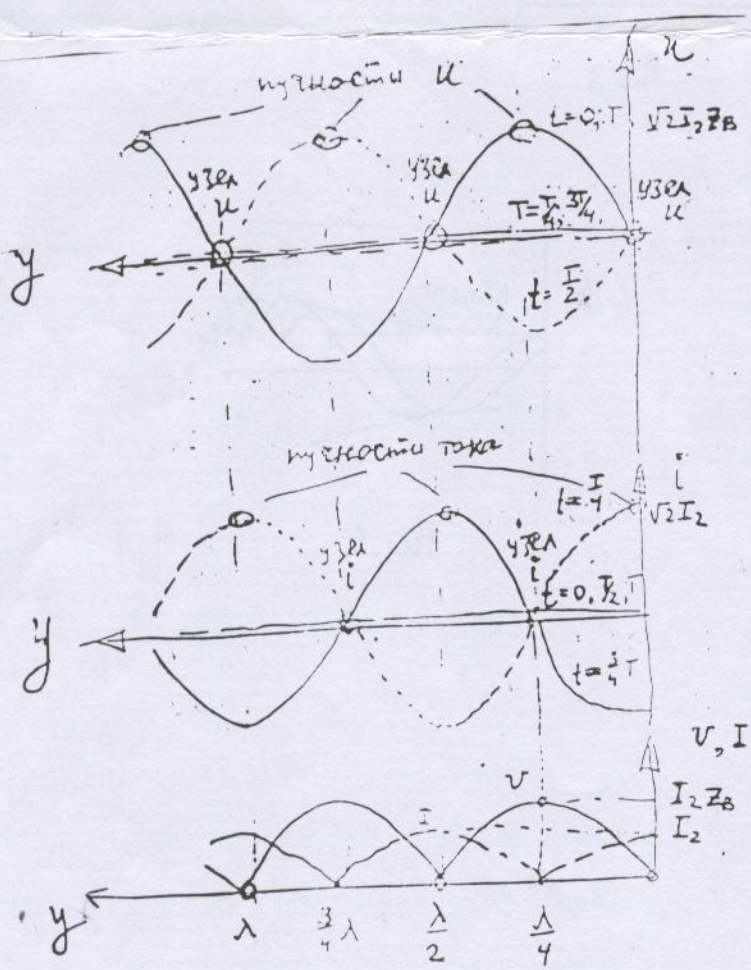
Рис. 5



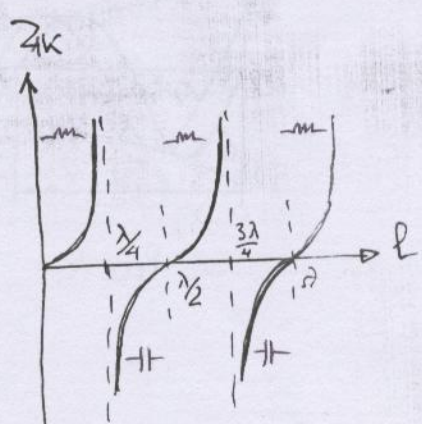
Puc. 7



Puc. 8



Puc. 9



Puc. 10

## 11. Линия без потерь в режиме короткого замыкания.

В уравнениях (47) положим  $\dot{U}_2=0$ :

$$\begin{cases} \dot{U}(y) = j I_2 Z_B \sin \beta y; \\ \dot{I}(y) = I_2 \cos \beta y \end{cases} \quad \begin{array}{l} \text{- ур-я линии без потерь} \\ \text{в режиме к.з.} \end{array} \quad (57)$$

Пусть  $\Psi_{i_2} = 0$ . Так как  $\beta = \frac{2\pi}{\lambda}$ , из уравнений (57) следует:

$$\begin{cases} \dot{U}(y) = I_2 Z_B \sin \frac{2\pi}{\lambda} y \cdot e^{j90^\circ}; \\ \dot{I}(y) = I_2 \cos \frac{2\pi}{\lambda} y. \end{cases}$$

или для мгновенных значений:

$$\begin{cases} u(y,t) = I_2 Z_B \sqrt{2} \cdot \sin \frac{2\pi}{\lambda} y \cdot \sin(\omega t + 90^\circ) = I_2 Z_B \sqrt{2} \cdot \sin \frac{2\pi}{\lambda} y \cdot \cos \omega t; \\ i(y,t) = I_2 \sqrt{2} \cdot \cos \frac{2\pi}{\lambda} y \cdot \sin \omega t. \end{cases} \quad (58)$$

/ см. рис.9 к формулам (58) /

### Выводы:

1. В закороченной линии без потерь возникает «режим стоячих волн». Появляются точки, в которых  $u$  или  $i$  всегда равны нулю (т.н. «узлы» напряжения и тока). В остальных точках происходит пульсация  $u$  и  $i$ . Наибольшая амплитуда пульсаций – в т.н. «пучностях».
2. Через узлы  $u$  и  $i$  энергия не передается. На участках линии длиной  $\frac{\lambda}{4}$  происходит колебательный процесс обмена энергией между электрическим и магнитным полями.

## 12. Входное сопротивление закороченной линии.

Из уравнений (25) или (32) при  $\dot{U}_2=0$  следует:

$$Z_{1K} = \frac{\dot{U}_{1K}}{\dot{I}_{1K}} = \frac{\dot{I}_{2K} Z_B \operatorname{th} \beta l}{\dot{I}_{2K} \operatorname{ch} \beta l} = Z_B \operatorname{th} \beta l. \quad (59)$$

### Для линии без потерь:

$$Z_B = Z_B; \quad \gamma = j\beta; \quad \operatorname{th} \beta l = j \operatorname{tg} \beta l; \quad \beta = \frac{2\pi}{\lambda}$$

$$Z_{1K} = j Z_B \operatorname{tg} \frac{2\pi}{\lambda} l \quad (60)$$

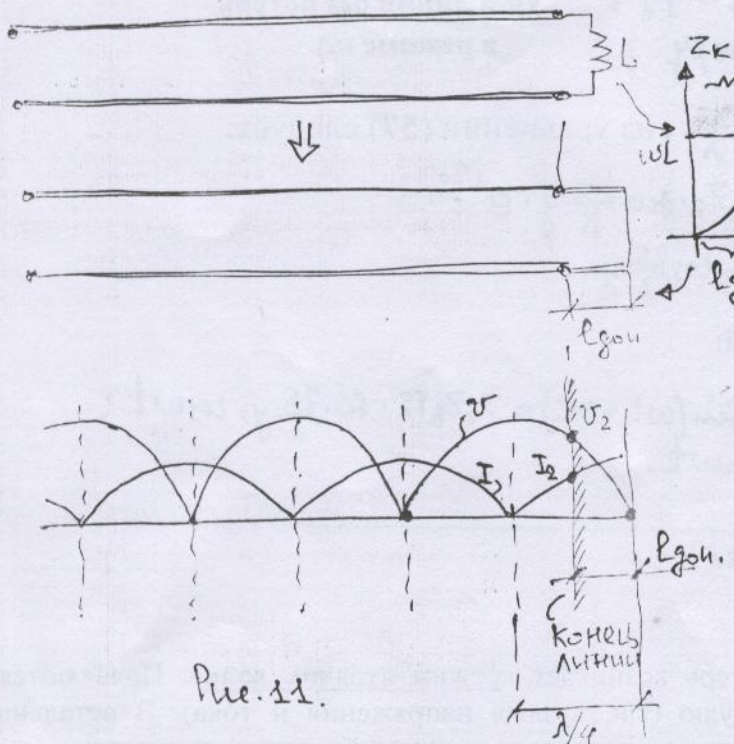
/ см. рис.10 к формуле (60) /

### Выводы:

1. Входное сопротивление закороченной линии без потерь зависит от ее длины, при изменении которой периодически меняется.  
(при длине линии, равной  $\frac{\lambda}{2}; \lambda; \frac{3}{2}\lambda; \dots$   $Z_{1K} = 0$ ; при длине  $\frac{\lambda}{4}; \frac{3}{4}\lambda; \frac{5}{4}\lambda$  и т.д.  $Z_{1K} = \pm j\infty$ ).
2. Это сопротивление является чисто реактивным.
3. Разомкнутая линия без потерь может использоваться как идеальная индуктивность (при  $l < \frac{\lambda}{4}$ ) или как идеальная емкость ( $\frac{\lambda}{4} < l < \frac{\lambda}{2}$ ).

### 13. Реактивная нагрузка в конце линии без потерь.

Индуктивная нагрузка в конце линии.



Индуктивную нагрузку в конце линии можно заменить отрезком закороченной линии без потерь:  
(см. рис. 10)

$$Z_L = Z_K.$$

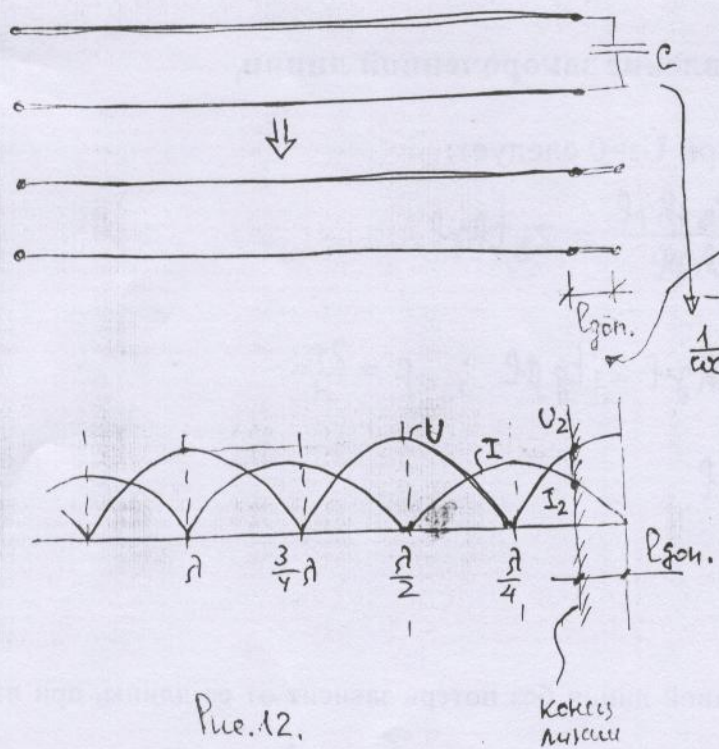
$$jWL = jZ_B \operatorname{tg} \beta l_{gon}.$$

$$\beta l_{gon} = \operatorname{arctg} \frac{\omega L}{Z_B}.$$

$$l_{gon} = \frac{1}{\beta} \operatorname{arctg} \frac{\omega L}{Z_B}$$

$$\left( \beta = \frac{2\pi}{\lambda} = \omega \sqrt{\epsilon_r} \right)$$

Емкостная нагрузка в конце линии.



Емкостную нагрузку в конце линии можно заменить отрезком разомкнутой линии без потерь:  
(см. рис. 8)

$$-\frac{1}{j\omega C} = -jZ_B \operatorname{ctg} \beta l_{gon}.$$

$$\beta l_{gon} = \operatorname{arctg} \frac{1}{\omega C \cdot Z_B}.$$

$$l_{gon} = \frac{1}{\beta} \operatorname{arctg} \frac{1}{\omega C \cdot Z_B}$$

После выполнения таких замен можно использовать рассмотренные ранее уравнения для режимов х.х. и к.з. (с учетом «изменившейся» длины линии).